

**Triode mit Edelgas- und Quecksilberdampffüllung**

Triode, inert gas and mercury vapour filled

Triode à gaz rare et à vapeur de mercure

Triodo llenado con gases nobles y vapor de mercurio

**Glasausführung**

Glass type

Exécution verre

Tipo de vidrio

**Kathode**

Cathode

Cathode

Cátodo

direkt geheizt

directly heated

à chauffage direct

caldeado directamente

**Montageanordnung: senkrecht mit dem Sockel nach unten**

Mounting Position: Vertical, base down

Disposition de montage: verticale avec socle dirigé vers le bas

Para montaje: vertical con portaválvula hacia abajo

**Gewicht**

Approx. net weight

Poids

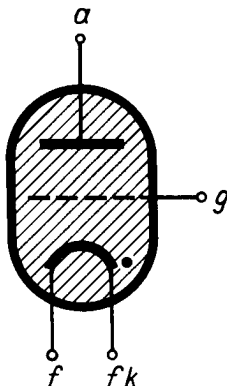
Peso

{	1 kg
	2,2 lbs

**a** = Anode  
Anode  
Anode  
Anodo

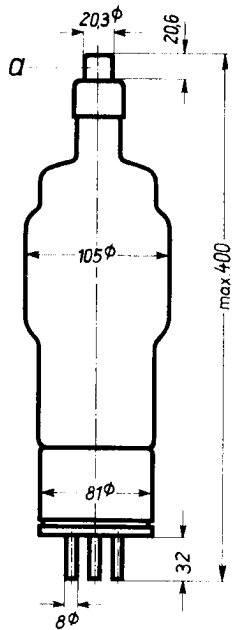
**g** = Steuergitter  
Control grid  
Grille de réglage  
Rejilla de mando

**f** = Heizung  
Filament  
Filament  
Filamento

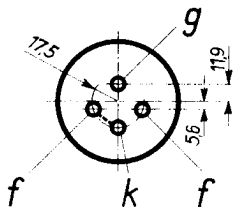


**Abmessungen**  
**Dimensions**  
**Dimensiones**

} mm



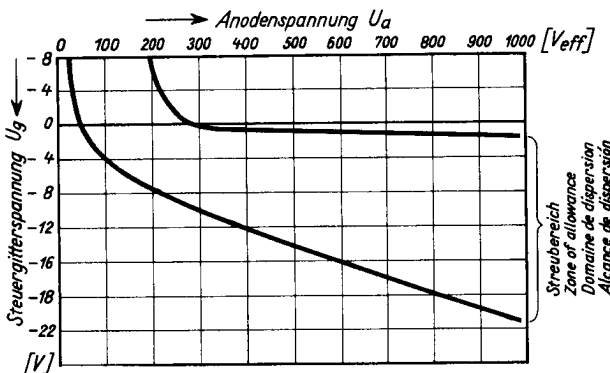
Sockelansicht von unten  
Bottom view of socket  
Socle vu du bas  
Portaválvula vista desde abajo



## Technische Werte Technical data Caractéristiques techniques Datos técnicos

<b>Heizspannung</b>	ca. abt. env. aprox.	$U_f$ 2,5 V
Filament voltage		
Tension de chauffage		
Tensión de caldeo		
<b>Heizstrom</b>	ca. abt. env. aprox.	$J_f$ 34 A
Filament current		
Courant de chauffage		
Corriente de caldeo		
<b>Toleranz der Heizspannung</b>	max. + 5%	
Max. permissible filament voltage fluctuations		
Fluctuation admissible de la tension de chauffage		
Tolerancia de la tensión de caldeo		
<b>Anheizzeit</b>		$t_f$ min. 60 sec.
Cathode-heating time		
Durée de chauffage		
Tiempo de precaldeo		
<b>Anodenspannung (Scheitelwert)</b>		$U_a$ max. 1,4 kV
Anode voltage (crest value)		
Tension anodique (valeur de crête)		
Tensión anódica (valor cresta)		
<b>Sperrspannung (Scheitelwert)</b>		$U_{inv.}$ max. 1,4 kV
Inverse voltage (crest value)		
Tension d'arrêt (valeur de crête)		
Tensión de bloqueo (valor cresta)		
<b>Anodenstrom (Scheitelwert)</b>		$J$ max. 150 A
Anode current (crest value)		
Courant anodique (valeur de crête)		
Corriente anódica (valor cresta)		
<b>Anodenstrom (Mittelwert)</b>		$J_a$ max 12,5 A
Anode current (average)		
Courant anodique (valeur moyenne)		
Corriente anódica (valor medio)		
<b>Steuergitterspannung bei gesperrter Röhre (Scheitelwert)</b>		$U_g$ max -250 V
Negative control grid bias of non-conducting tube (crest value)		
Tension de grille régulatrice pour tube non allumé (valeur de crête)		
Tensión de rejilla de mando con válvula no encendida (valor cresta)		

<b>Steuergitterstrom (Scheitelwert)</b>	}	$i_g$ max. 0,1 A
<b>Control grid current (crest value)</b>		
<b>Courant de grille (valeur de crête)</b>	}	$i_g$ max. 0,02 A
<b>Corriente de rejilla (valor cresta)</b>		
<b>Steuergitterstrom (Mittelwert)</b>	}	
<b>Control grid current (average)</b>		
<b>Courant de grille (valeur moyenne)</b>	}	
<b>Corriente de rejilla (valor medio)</b>		
<b>Gitterwiderstand</b>	}	$R_g$ max. 100 k $\Omega$
<b>Max. grid resistance</b>		
<b>Résistance de grille</b>	}	
<b>Resistencia de rejilla</b>		
<b>Spannungsabfall an der gezündeten Röhre</b>	}	$U_B$ 15 V
<b>Arc drop</b>		
<b>Chute de tension</b>	}	
<b>Caída de tensión</b>		
<b>Integrationszeit</b>	}	$\tau$ max. 15 sec.
<b>Integration time</b>		
<b>Temps d'intégration</b>	}	
<b>Tiempo de integración</b>		
<b>Ionisationszeit</b>	}	$t_i$ 10 $\mu$ sec.
<b>Ionisation time</b>		
<b>Temps d'ionisation</b>	}	
<b>Tiempo de ionización</b>		
<b>Freiwerdezeit</b>	bei at à en	$U_g = - 10$ V $t_r$ 500 $\mu$ sec.
<b>Recovery time</b>		
<b>Temps de recouvrement</b>		
<b>Tiempo de recobro</b>		
<b>Gitteranoden-Kapazität</b>	}	$C_{ag}$ 11 p F ( $\mu\mu$ F)
<b>Grid-anode capacity</b>		
<b>Capacité d'anode de grille</b>	}	
<b>Capacidad del ánodo de rejilla</b>		
<b>Eingangs-Kapazität</b>	}	$C_g$ 19 p F ( $\mu\mu$ F)
<b>Grid-filament capacity</b>		
<b>Capacité a'entrée</b>	}	
<b>Capacidad rejilla filamento</b>		
<b>Ausgangs-Kapazität</b>	}	$C_a$ 0,01 p F ( $\mu\mu$ F)
<b>Anode-filament capacity</b>		
<b>Capacité de sortie</b>	}	
<b>Capacidad ánodo-filamento</b>		
<b>Umgebungstemperatur</b>	}	min. -10° C max.+45° C
<b>Ambient temperature</b>		
<b>Température ambiante</b>	}	
<b>Temperatura de ambiente</b>		



Zündkennlinienbereich bei einer großen Zahl von Röhren gemessen. Zündkennlinie stellt Steuergitterspannung  $U_g$  in Abhängigkeit von der Anodenwechselspannung  $U_a$  (Effektivwert) am Zündpunkt dar.

Band of ignition characteristics as determined from measurements of a multitude of tubes.

Breakdown characteristic presents grid potential  $U_g$  as function of anode voltage (effective)  $U_a$  at firing point.

Domaine des caractéristiques d'allumage déterminé sur un grand nombre de tubes. La caractéristique d'allumage représente la tension de grille  $U_g$  en fonction de la tension alternative anodique (valeur effective) au point d'allumage.

Alcance de las características de ignición determinado en gran número de válvulas medidas.

La característica de ignición representa la tensión de rejilla de mando  $U_g$  en dependencia de la tensión alterna anódica  $U_a$  (valor eficaz) en el punto de ignición.